

## ОБ АЛГОРИТМЕ КОЗИНЦА. II\*

В. Н. Малоземов    Н. А. Соловьева    Г. Ш. Тамасян  
v.malozemov@spbu.ru    4vinyo@gmail.com    grigoriytamasjan@mail.ru

21 марта 2024 г.

Данный доклад является непосредственным продолжением доклада [1].  
Используется нумерация предыдущих разделов, формул, лемм и теорем.

**5°. Неусеченные и усеченные итерации.** В дальнейшем будем считать, что выполнено условие  $\Delta_k > 0$  при всех  $k = 0, 1, \dots$ . Это условие гарантирует, в частности, что при всех  $k = 0, 1, \dots$  вектор  $w_k = x_k - y_k$  отличен от нулевого.

При  $\Delta_k > 0$  план  $(x_k, y_k)$  задачи (1) порождает  $k$ -ю итерацию алгоритма Козинца. Прежде всего, вычисляется  $\tilde{\lambda}_k$ . При  $\tilde{\lambda}_k \in (0, 1]$   $k$ -ю итерацию назовем *неусеченной*, при  $\tilde{\lambda}_k > 1$  — *усеченной*. На неусеченной итерации полагаем  $\lambda_k = \tilde{\lambda}_k$ , на усеченной —  $\lambda_k = 1$ .

Обозначим через  $D_1$  диаметр множества  $C_1$  и через  $D_2$  — диаметр множества  $C_2$ . Положим  $D = \max\{D_1, D_2\}$ .

**ЛЕММА 2.** *Допустим, что  $k$ -я итерация алгоритма Козинца является неусеченной. Тогда справедливо неравенство*

$$\|w_k\|^2 - \|w_{k+1}\|^2 \geq \left(\frac{\Delta_k}{D}\right)^2. \quad (21)$$

*Доказательство.* Имеем  $\Delta_k > 0$  и  $\lambda_k = \tilde{\lambda}_k$ . Возможны два случая.

1)  $\Delta_k = \Delta_k^{(1)} = \langle p_{i_k} - x_k, y_k - x_k \rangle$ , где  $i_k \in 1 : s$ . По описанию алгоритма

$$\tilde{\lambda}_k = \frac{\Delta_k}{\|p_{i_k} - x_k\|^2}$$

и  $x_{k+1} = x_k + \tilde{\lambda}_k(p_{i_k} - x_k)$ ,  $y_{k+1} = y_k$ . Вычислим

$$\begin{aligned} \|x_{k+1} - y_{k+1}\|^2 &= \left\| x_k - y_k + \tilde{\lambda}_k(p_{i_k} - x_k) \right\|^2 = \\ &= \|x_k - y_k\|^2 - 2\tilde{\lambda}_k \langle p_{i_k} - x_k, y_k - x_k \rangle + \tilde{\lambda}_k^2 \|p_{i_k} - x_k\|^2 = \\ &= \|x_k - y_k\|^2 - 2\tilde{\lambda}_k \Delta_k + \frac{\Delta_k^2}{\|p_{i_k} - x_k\|^2} = \|x_k - y_k\|^2 - \frac{\Delta_k^2}{\|p_{i_k} - x_k\|^2}. \end{aligned}$$

---

\*Семинар по оптимизации, машинному обучению и искусственному интеллекту  
«O&ML» <http://oml.cmlaboratory.com/>

Отсюда непосредственно следует неравенство (21).

2)  $\Delta_k = \Delta_k^{(2)} = \langle p_{j_k} - y_k, x_k - y_k \rangle$ , где  $j_k \in (s+1) : m$ . По описанию алгоритма

$$\tilde{\lambda}_k = \frac{\Delta_k}{\|p_{j_k} - y_k\|^2}$$

и  $x_{k+1} = x_k$ ,  $y_{k+1} = y_k + \tilde{\lambda}_k(p_{j_k} - y_k)$ . Вычислим

$$\begin{aligned} \|x_{k+1} - y_{k+1}\|^2 &= \|x_k - y_k - \tilde{\lambda}_k(p_{j_k} - y_k)\|^2 = \\ &= \|x_k - y_k\|^2 - 2\tilde{\lambda}_k \langle p_{j_k} - y_k, x_k - y_k \rangle + \tilde{\lambda}_k^2 \|p_{j_k} - y_k\|^2 = \\ &= \|x_k - y_k\|^2 - 2\tilde{\lambda}_k \Delta_k + \frac{\Delta_k^2}{\|p_{j_k} - y_k\|^2} = \|x_k - y_k\|^2 - \frac{\Delta_k^2}{\|p_{j_k} - y_k\|^2}. \end{aligned}$$

Отсюда непосредственно следует неравенство (21).

Лемма доказана.  $\square$

Лемма 2 гарантирует, в частности, что на неусеченных итерациях выполняется неравенство  $\|w_k\| > \|w_{k+1}\|$ . Нетрудно проверить, что оно выполняется и на усеченных итерациях.

Действительно, пусть  $\Delta_k = \Delta_k^{(1)} = \langle p_{i_k} - x_k, y_k - x_k \rangle > 0$ , где  $i_k \in 1 : s$ , и

$$\tilde{\lambda}_k := \frac{\langle p_{i_k} - x_k, y_k - x_k \rangle}{\|p_{i_k} - x_k\|^2} > 1.$$

Последнее неравенство перепишем в виде

$$\langle p_{i_k} - x_k, y_k - x_k \rangle > \|p_{i_k} - x_k\|^2. \quad (22)$$

По описанию алгоритма Козинца имеем  $\lambda_k = 1$ ,

$$x_{k+1} = x_k + (p_{i_k} - x_k) = p_{i_k}, \quad y_{k+1} = y_k.$$

Вычислим

$$\begin{aligned} \|x_{k+1} - y_{k+1}\|^2 &= \|x_k - y_k + (p_{i_k} - x_k)\|^2 = \\ &= \|x_k - y_k\|^2 - 2\langle p_{i_k} - x_k, y_k - x_k \rangle + \|p_{i_k} - x_k\|^2. \end{aligned}$$

На основании (22) и условия  $x_k \neq p_{i_k}$  получаем

$$\|x_{k+1} - y_{k+1}\|^2 < \|x_k - y_k\|^2 - \|p_{i_k} - x_k\|^2 < \|x_k - y_k\|^2.$$

В случае  $\Delta_k = \Delta_k^{(2)} = \langle p_{j_k} - y_k, x_k - y_k \rangle$ , где  $j_k \in (s+1) : m$ , и

$$\tilde{\lambda}_k := \frac{\langle p_{j_k} - y_k, x_k - y_k \rangle}{\|p_{j_k} - y_k\|^2} > 1$$

аналогично предыдущему придем к неравенству

$$\|x_{k+1} - y_{k+1}\|^2 < \|x_k - y_k\|^2 - \|p_{j_k} - y_k\|^2 < \|x_k - y_k\|^2.$$

Таким образом, во всех случаях выполняется неравенство

$$\|w_k\| > \|w_{k+1}\|, \quad k = 0, 1, \dots \quad (23)$$

Это означает, что числовая последовательность  $\{\|w_k\|\}$  строго убывает. Кроме того, она ограничена снизу нулем. По теореме из математического анализа приходим к следующему заключению.

**ЛЕММА 3.** *Числовая последовательность  $\{\|w_k\|\}$  имеет конечный предел.*

Нам потребуется одно специфическое свойство усеченных итераций.

**ЛЕММА 4.** *Количество идущих подряд усеченных итераций конечно.*

*Доказательство.* Допустим, что  $k$ -я итерация алгоритма Козинца является усеченной и следом за ней идут только усеченные итерации. Если  $\Delta_k = \Delta_k^{(1)}$ , то по описанию алгоритма имеем  $x_{k+1} = p_{i_k}$ ,  $y_{k+1} = y_k$ . При этом  $\|w_{k+1}\| < \|w_k\|$ . В случае, когда и далее  $\Delta_{k+l} = \Delta_{k+l}^{(1)}$ ,  $l = 1, 2, \dots$ , получим

$$x_{k+l+1} = p_{i_{k+l}}, \quad y_{k+l+1} = y_k, \quad \|w_{k+l+1}\| < \|w_{k+l}\|.$$

Такой процесс не может быть бесконечным, поскольку точек  $p_i$  конечное число ( $i \in 1 : s$ ). Значит, при некотором  $l$  выполнится равенство  $\Delta_{k+l} = \Delta_{k+l}^{(2)}$ . По описанию алгоритма получим

$$x_{k+l+1} = x_{k+l} = p_{i_{k+l-1}}, \quad y_{k+l+1} = p_{j_{k+l}}, \quad \|w_{k+l+1}\| < \|w_{k+l}\|.$$

Следующие пары  $(x_r, y_r)$  будут иметь вид  $(p_i, p_j)$ , где  $i \in 1 : s$ ,  $j \in (s+1) : m$ , при строгом убывании величины  $\|w_r\|$ . И такой процесс не может быть бесконечным ввиду конечности множества пар  $(p_i, p_j)$ .

Аналогично рассматривается случай  $\Delta_k = \Delta_k^{(2)}$ .

Лемма доказана.  $\square$

Согласно лемме 4, последовательность (19) может содержать конечные блоки планов  $(x_k, y_k)$ , порождающих усеченные итерации. Если эти блоки исключить из последовательности (19), то останется бесконечная подпоследовательность планов  $(x_{k_j}, y_{k_j})$ , порождающих неусеченные итерации.

**6°. Доказательство сходимости алгоритма Козинца.** Имеется в виду следующее утверждение.

**ТЕОРЕМА 4.** Если  $\Delta_k > 0$  при всех  $k = 0, 1, \dots$ , то

$$\lim_{k \rightarrow \infty} w_k = w^*.$$

**Доказательство.** Рассмотрим бесконечную подпоследовательность  $(x_{k_j}, y_{k_j})$  последовательности (19), состоящую из планов, порождающих неусеченные итерации. По лемме 2 имеем

$$\|w_{k_j}\|^2 - \|w_{k_{j+1}}\|^2 \geq \left(\frac{\Delta_{k_j}}{D}\right)^2. \quad (24)$$

Согласно лемме 3 последовательность  $\{\|w_k\|^2\}$  сходится. Значит, левая часть неравенства (24) стремится к нулю при  $j \rightarrow \infty$ . Как следствие, получаем

$$\lim_{j \rightarrow \infty} \Delta_{k_j} = 0.$$

По теореме 3,

$$\lim_{j \rightarrow \infty} w_{k_j} = w^*.$$

Очевидно, что и

$$\lim_{j \rightarrow \infty} \|w_{k_j}\| = \|w^*\|. \quad (25)$$

Вместе с тем, известно, что вся последовательность  $\{\|w_k\|\}$  строго убывает и имеет конечный предел (см. (23) и лемму 3). Учитывая (25), приходим к предельному соотношению

$$\lim_{k \rightarrow \infty} \|w_k\| = \|w^*\|. \quad (26)$$

Теперь отметим, что в силу (20) справедливо неравенство

$$\|w_k - w^*\|^2 = \|w_k\|^2 - 2\langle w_k, w^* \rangle + \|w^*\|^2 \leq \|w_k\|^2 - \|w^*\|^2.$$

Согласно (26), правая часть этого неравенства стремится к нулю. Значит,

$$\lim_{k \rightarrow \infty} \|w_k - w^*\|^2 = 0,$$

что равносильно заключению теоремы.

Теорема доказана. □

**7°. Алгоритм Козинца (рабочая схема).** Рассмотрим возможную вариацию алгоритма Козинца.

Пусть уже имеется  $k$ -е приближение  $(x_k, y_k)$ . Вычислим оценку

$$\Delta^{(1)}(x_k, y_k) := \max_{i \in 1:s} \langle p_i - x_k, y_k - x_k \rangle = \langle p_{i_k} - x_k, y_k - x_k \rangle.$$

- Если  $\Delta^{(1)}(x_k, y_k) > 0$ , то находим  $\lambda_k = \min \left\{ 1, \frac{\Delta^{(1)}(x_k, y_k)}{\|p_{i_k} - x_k\|^2} \right\}$  и

$$x_{k+1} = x_k + \lambda_k(p_{i_k} - x_k).$$

- Если  $\Delta^{(1)}(x_k, y_k) \leq 0$ , то полагаем  $x_{k+1} = x_k$ .

Вычислим вторую оценку

$$\Delta^{(2)}(x_{k+1}, y_k) := \max_{j \in (s+1):m} \langle p_j - y_k, x_{k+1} - y_k \rangle = \langle p_{j_k} - y_k, x_{k+1} - y_k \rangle.$$

- Если  $\Delta^{(2)}(x_{k+1}, y_k) > 0$ , то находим  $\lambda_k = \min \left\{ 1, \frac{\Delta^{(2)}(x_{k+1}, y_k)}{\|p_{j_k} - y_k\|^2} \right\}$  и

$$y_{k+1} = y_k + \lambda_k(p_{j_k} - y_k).$$

- Если  $\Delta^{(2)}(x_{k+1}, y_k) \leq 0$ , то полагаем  $y_{k+1} = y_k$ .

При выполнении условий  $\Delta^{(1)}(x_k, y_k) \leq 0$  и  $\Delta^{(2)}(x_{k+1}, y_k) \leq 0$  план  $(x_k, y_k)$  будет оптимальным, т. к. в этих случаях  $x_{k+1} = x_k$  и  $y_{k+1} = y_k$ . Иначе  $(x_{k+1}, y_{k+1})$  — очередное приближение.

Описание рабочей схемы завершено.

**З а м е ч а н и е 1.** Основное отличие рабочей схемы от принципиальной состоит в том, что очередное приближение в рабочей схеме строится сразу по обоим переменным, при условии положительности соответствующих оценок.

**8°. Примеры.** В этом разделе приведены три примера, иллюстрирующие работу предложенных вычислительных схем алгоритма Козинца. Вычисления заканчивались, когда на очередном приближении  $(x_k, y_k)$  соответствующие им оценки удовлетворяли условиям:

$$\begin{cases} \Delta^{(1)}(x_k, y_k) < \varepsilon, \\ \Delta^{(2)}(x_{k+1}, y_k) < \varepsilon, \end{cases}$$

где  $\varepsilon > 0$  — параметр метода.

В качестве начального приближения  $(x_0, y_0)$  брались центры масс множеств  $P_1$  и  $P_2$ . Результаты расчетов представлены на графиках.

Используются следующие обозначения: точки множеств  $P_1$  и  $P_2$  изображаются красным и синим цветом; последовательность  $x_k$  изображается знаком  $+$  красного цвета,  $y_k$  — знаком  $\times$  синего цвета; предельная точка тем же знаком, но более крупного размера; квадратиком выделены центры масс множеств  $P_1$  и  $P_2$ .

**ПРИМЕР 1.** На рис. 4–7 проиллюстрированы результаты расчетов по принципиальной и рабочей схемам при различных значениях параметра  $\varepsilon$ . Оптимальное решение выделено зеленым цветом.

При  $\varepsilon = 0.1$  оба алгоритма закончили вычисления за 4 итерации. На рисунках 4 и 5 видно, что предельная точка  $x_4$  находится в окрестности оптимальной, а  $y_4$  не совпала с оптимальной только для рабочей схемы.

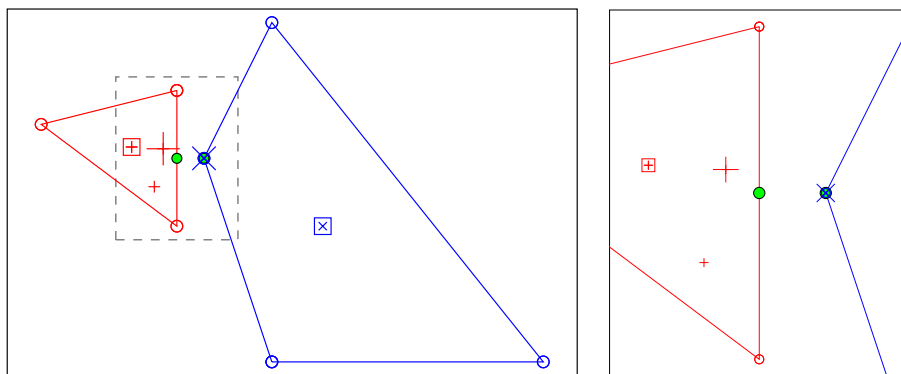


Рис. 4. Принципиальная схема ( $\varepsilon = 0.1$ )

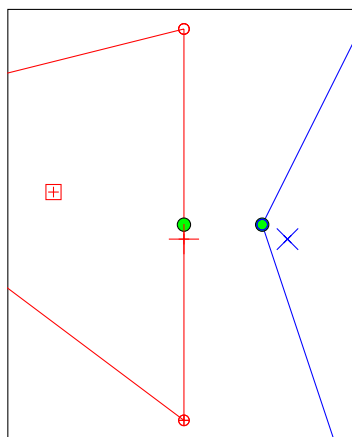


Рис. 5. Рабочая схема ( $\varepsilon = 0.1$ )

Результаты расчетов обеих схем при  $\varepsilon = 0.01$  изображены на рис. 6. В принципиальной схеме вычисления закончились за 22 итерации, в рабочей — за 6 итераций. Обе предельные точки совпали с оптимальными только для рабочей схемы.

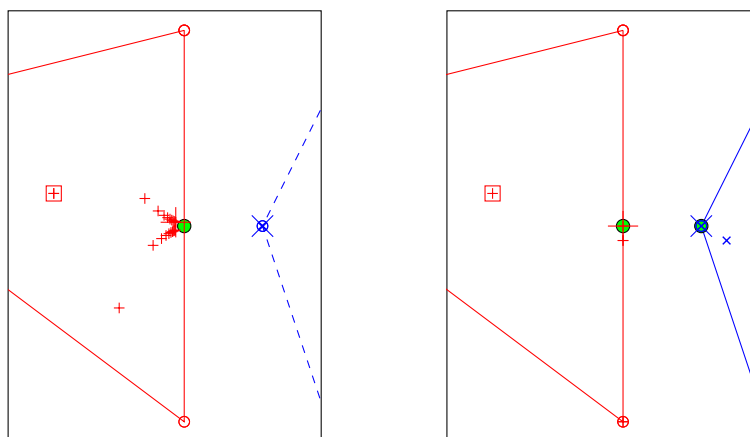


Рис. 6. Расчеты при  $\varepsilon = 0.01$

Аналогичная картина сохранилась для рабочей схемы и при  $\varepsilon = 0.001$  (см. рис. 7). Как и ранее, вычисления завершились в оптимальной точке за 6 итераций. Намного увеличилось количество итераций в принципиальной схеме — до 240 итераций. Это показывает, что в принципиальной схеме скорость сходимости замедляется при приближении к решению.

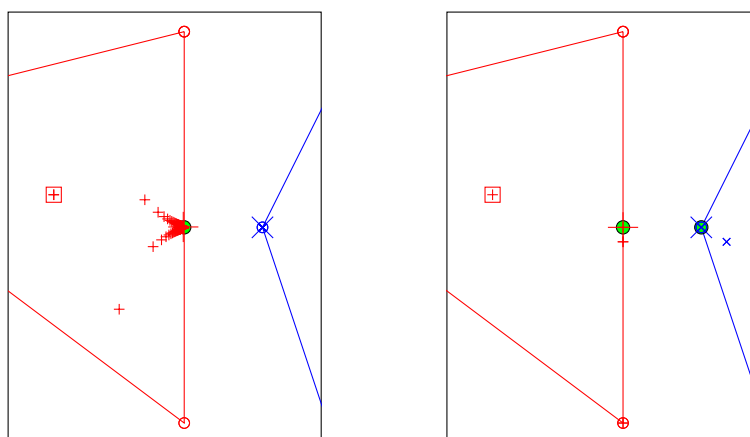


Рис. 7. Расчеты при  $\varepsilon = 0.001$

**ПРИМЕР 2.** На рис. 8–9 приведены результаты расчетов при  $\varepsilon = 0.01$  для множеств, у которых  $|P_1| = 30$  и  $|P_2| = 50$ . К единственному решению задачи, последовательность  $(x_k, y_k)$ , построенная по рабочей схеме, сошла на порядок быстрее.

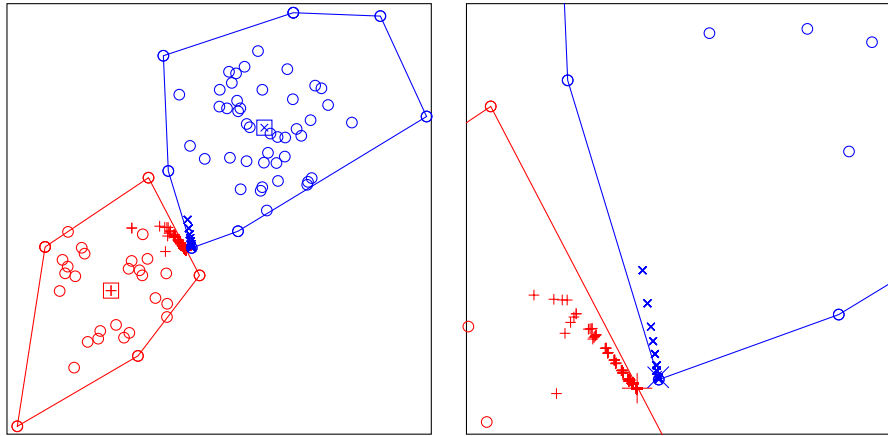


Рис. 8. Принципиальная схема (694 итер.)

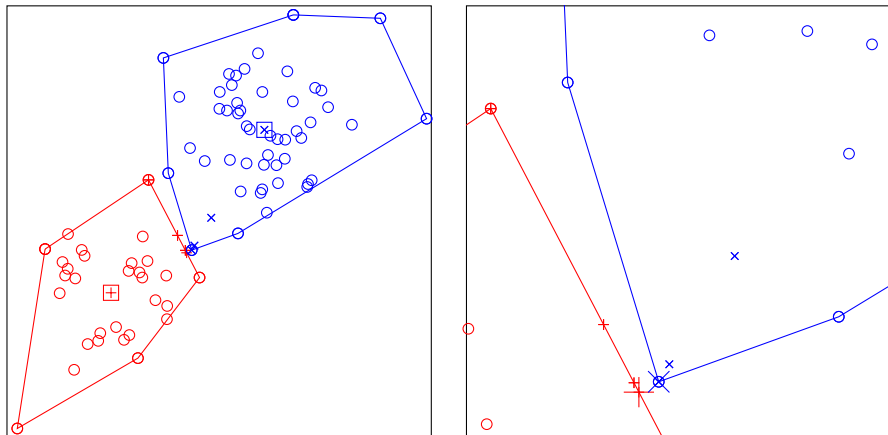


Рис. 9. Рабочая схема (8 итер.)

**ПРИМЕР 3.** На рис. 10–11 приведены результаты расчетов при  $\varepsilon = 0.01$ , когда выпуклые оболочки множеств  $P_1$  и  $P_2$  пересекаются. На рисунках видно, что принципиальная и рабочая схемы привели к различным решениям.

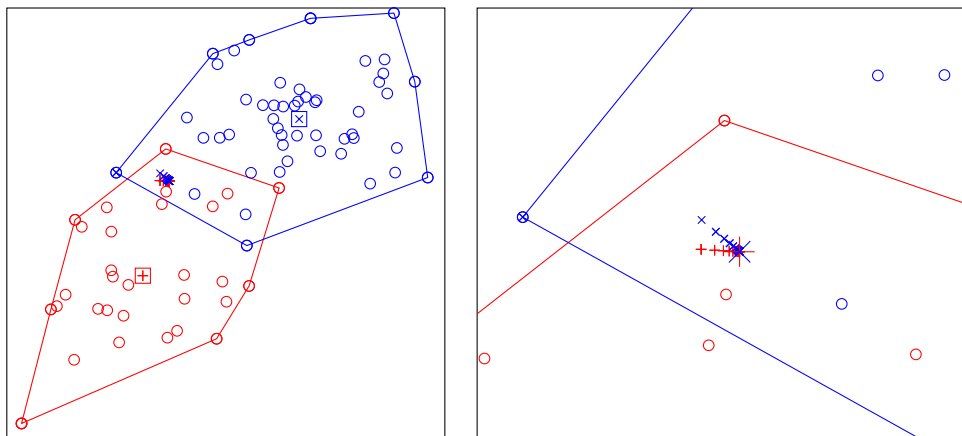


Рис. 10. Принципиальная схема (29 итер.)

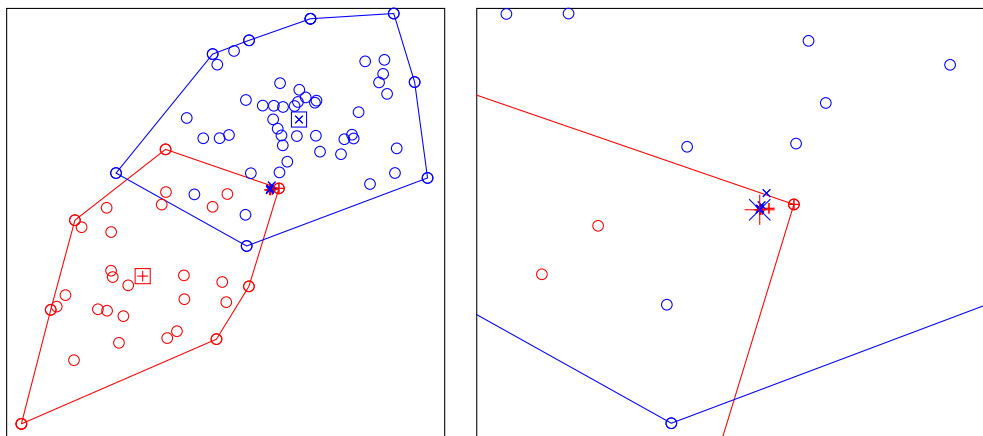


Рис. 11. Рабочая схема (12 итер.)

Замечание 2. Трудоемкость шага в принципиальной схеме соответствует двум шагам в рабочей схеме.

Замечание 3. Были также проведены массовые вычислительные эксперименты по сравнению эффективности рассматриваемых схем алгоритма Козинца. Замерялось время и вычислялось количество итераций каждой схемы на решение одинаковых задач. В множествах  $P_1$  и  $P_2$  размерность векторов доходила до 200, а их количество — до 3000. В среднем, принципиальной схемой задача решается в два раза дольше, чем рабочей схемой. Количество же итераций не намного отличаются друг от друга.

## ЛИТЕРАТУРА

1. Малозёмов В. Н., Соловьёва Н. А., Тамасян Г. Ш. *Об алгоритме Козинца. I* // Семинар «ОМЛ». Избранные доклады. 14 марта 2024 г. (<http://oml.cmlaboratory.com/rep24.shtml#0314>)
2. Козинец Б. Н. *Об одном алгоритме обучения линейного перцептрона*. В сб. «Вычислительная техника и вопросы программирования». Изд. ВЦ ЛГУ, 1964, вып. 3. С. 80–83.
3. Козинец Б. Н. *Рекуррентный алгоритм разделения выпуклых оболочек двух множеств* // Алгоритмы обучения распознаванию образов / Под. ред. В. Н. Вапника. М.: Сов. Радио. 1973. С. 43–50.